

**PA28) 기상 측정용 다채널 라만·비편광 라이다 장치 개발 및  
황사 측정에 관한 연구**

**Development of Meteorological Raman and  
Depolarization Lidar and Measurement of the Asian  
Dust**

송일강 · 김덕현<sup>1)</sup> · 백성훈<sup>2)</sup> · 차형기<sup>2)</sup> · 김용기 · 류지우

공주대학교 물리학과, <sup>1)</sup>한밭대학교 교양학부, <sup>2)</sup>한국원자력연구원 양자광학연구부

**1. 서 론**

최근 건강에 대한 관심이 높아지면서, 건강과 연관하여 환경에 관한 관심 또한 나날이 증가하고 있는 실정이다. 특히 황사의 경우, 2000년대에 들어 발생 빈도수가 급격히 증가하고 있는데, 이런 에어로졸의 증가는 지구 냉각화에 직접적인 영향을 미칠 뿐만 아니라, 구름 생성의 응결핵으로 작용하여 대기 복사체계에 간접적인 영향을 준다. 또한 식물의 기도를 막아 광합성 작용을 방해하거나, 입자 크기나 화학조성에 따라 호흡기계에 침착하는 정도의 차이가 있지만 인체에 각종 질환을 일으킨다. 그리고 에어로졸 입자 크기에 따라 빛의 분산 현상 및 시야를 방해하는 현상 등이 발생한다. 이러한 에어로졸의 효과에 대한 연구는 간접적으로 에어로졸의 후방산란계수 값을 통해 대기 중에 존재하는 에어로졸 입자가 얼마나 많이 분포되어 있는지에 관한 특성 분석을 함으로써 가능하다. 라이다 기술의 발달과 함께 에어로졸의 분석에 관해 많은 연구들이 이루어졌지만, 에어로졸의 모양이나 크기 분포의 변화 등을 높은 고도까지 동시에 측정하는 연구는 장치의 복잡성(S/W)기법이 개발되어 있지 않아서 아직 세계적으로도 그 방법이 완성 단계에 이르지 못하고 있는 실정이다. 이에 본 연구에서는 탄성 신호와 라만 신호를 동시 측정할 수 있는 자체 개발한 다파장 라만 라이다를 이용하여 에어로졸의 특성을 파악하고자 한다.

**2. 연구 방법**

에어로졸의 후방산란계수 값을 통해 대기 중에 존재하는 에어로졸 입자가 얼마나 많이 분포되어 있는지에 관한 특성 분석을 하였다. 또한 회전 라만 및 탄성 신호를 이용하여 후방산란비  $[BR = \beta_{ae}^{355}(z)/\beta_{ae}^{532}(z)]$ 를 구함으로써 에어로졸의 크기 분포를 알 수 있고, 편광소멸도(depolarization) 측정 기술은 기상에서 액체나 고체 상태인 구름의 입자와 에어로졸의 모양을 구별할 수 있었다. 즉 편광소멸도 측정 기술을 통하여 구형을 갖는 물방울의 형태가 아니라 얼음 알갱이로 구성된 빙정운(Ice cloud) 형태로 존재하는 권운이나 황사층에 대한 측정이 가능하였다. 이로써 편광소멸 비율( $\delta = P_{\perp}/P_{\parallel}$ )을 구할 수 있었으며 입자의 모양과 크기에 따라 편광소멸도와 BR 값이 서로 다른 값을 갖기 때문에 산란에서 유용한 정보를 제공할 수 있었다.

본 연구에 사용된 실험 장치는 355nm와 532nm로 구성된 라만 라이다 시스템으로, 전체 시스템의 구성도는 그림 1과 같다. 레이저 원은 펄스 반복율이 30Hz인 Nd:YAG 3차 조화파(355nm)와 2차 조화파(532nm)를 사용하였다. 펄스당 에너지는 355nm는 50mJ이고, 532nm는 150mJ이고, 레이저에서 발진된 광원은 빔 분리기를 통해 355nm와 532nm로 각각 분리하였다. 532nm의 빔은 wave plate( $\lambda/2$  polarizer)를 설치하여 선형 편광된 레이저 빔을 수신단의 PBS를 고려하여 원하는 편광 방향으로 변화시켜 대기 중으로 조사하였다. 수신 장치로는 355nm와 532nm의 망원경을 설치하여 각각의 수신광학계를 구성하였다. 355nm의 망원경에서 수신한 산란 신호는, 355nm 파장용 Mie/Rotation Raman 수신광학계와 물방울/수증기를 측정하는 광학계로 분리하였다. 355nm의 수신광학계에서는 회전 라만 신호와 탄성 신호를 구별하여 측정하였다. 532nm의 망원경에서 수신한 산란 신호는 빔 분리기에서 532nm와 편광소멸도를 측정할 수 있는 각각의 수신광학계로 광섬유를 통해서 6 : 4 비율로 유도되는데, 532nm의 수신광학계에서도 355nm의 수신광학계와 마찬가지로 회전 라만 신호와 탄성 신호를 구별하여 측정하였다. 편광소멸도

를 측정할 수 있는 수신계로 유도된 산란 신호는 에어로졸의 모양에 의한 편광 산란 특성에 따라 편광 소멸도 값이 변화되어 빛의 진행 방향과 수직인 편광과 평행한 편광으로 편광 빔 분리기를 통해 구분하여 측정하였다.

### 3. 결과 및 고찰

그림 2는 개발된 장치로 얻어지는 전형적인 회전라만 신호를 보여준다. 355nm와 532nm 수신광학계에서 각각 얻어지는 회전 라만 및 탄성 신호이다. 대체로 작은 에어로졸이 4.5km 이전까지 분포되어 있다가 4.5km 부근의 에어로졸(구름)에 산란되면서 탄성 신호는 급격히 증가하고 회전 라만 신호는 현저히 감소하면서 상반된 모습을 나타내고 있다. 그림 3은 그림 2의 데이터에서 후방산란 계수를 355nm와 532 nm의 회전 라만 및 탄성신호로 각각 도출해낸 데이터이다. 4.5km 부근에서 입자가 큰 에어로졸이 형성되어 있음을 알 수 있다. 그림 4는 흐린 날과 5월 30일 황사가 발생한 날의 편광소멸도가 시간적으로 변화하는 것을 보이고 있다. 기상청 관측 자료와 같이 지표면에서 지상 500m 이내와 1km 부근에서 황사 입자가 밀집되어 있는 것을 확인하였다.

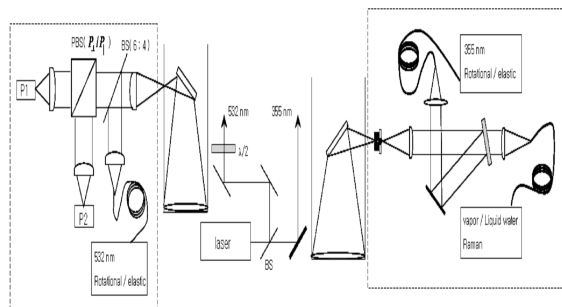


Fig. 1. Raman Lidar system for the meteorological parameters.

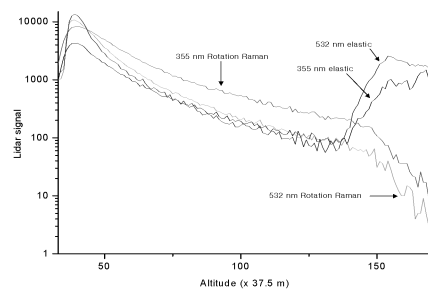


Fig. 2. Traditional two wavelength rotational Raman and elastic signals.

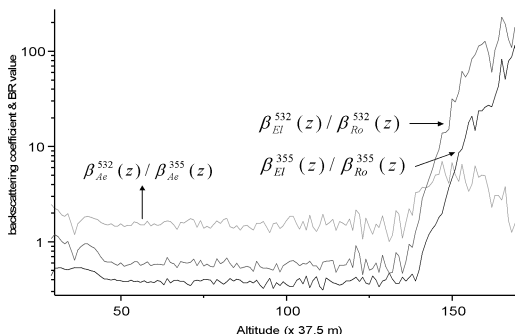


Fig. 3. Normalized aerosol size from backscattering coefficients.

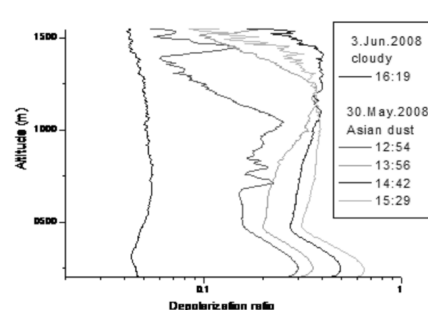


Fig. 4. Measured Asian Dust from the depolarization ratio of elastic scattering.

### 사사

본 연구는 기상지진기술개발사업(CATER-2006-3101)의 지원으로 수행되었습니다.

### 참 고 문 헌

- Kim, D., H. Cha, S. Park, J. Zhou, and W. Zhang (2006) Applied Physics B, 82(1).
- Veselovskii, A., H.K. Cha, D.H. Kim, S.C. Choi, and J.M. Lee (2001) Study of atmospheric water in gaseous and liquid state by using combined elastic-Raman depolarization lidar, Appl. Phys. B, 73, 739–744.
- Wandinger, U., A. Ansmann, and C. Weitkamp (1994) Atmospheric Raman depolarization-ratio measurements, Appl. Opt., 33, 5671.